2 Posto Reduzido

Em muitas situações os sinais discretos a serem processados pelos receptores de um sistema de transmissão digital possuem um elevado número de elementos, requerendo com o uso de técnicas convencionais o processamento de conjuntos (vetores) com um número bastante elevado de amostras. O objetivo maior aqui consiste, portanto, na redução da complexidade computacional e/ou tempo de convergência dos algoritmos voltados para os procedimentos de equalização/detecção em sistemas com um grande número de componentes, sem perda apreciável no desempenho final do receptor. Este tipo de processamento pertence a classe dos processamentos com redução de posto, e aqui ele é promovido por meio de dois estágios iniciais, o estágio de interpolação e o estágio de decimação do vetor original.

No inicio são descritos os princípios básicos da estrutura de posto reduzido e posteriormente são propostas algumas estratégias para o dimensionamento dos estágios de interpolação e decimação no bloco de posto reduzido.

2.1 Processamento de Posto Reduzido

Os princípios básicos da estrutura do bloco de posto reduzido são detalhados nesta seção.

O processo de reduzir a dimensão do vetor recebido é constituído por dois blocos, o estagio de interpolação e o estagio de decimação, conforme o diagrama da Figura 2.1.

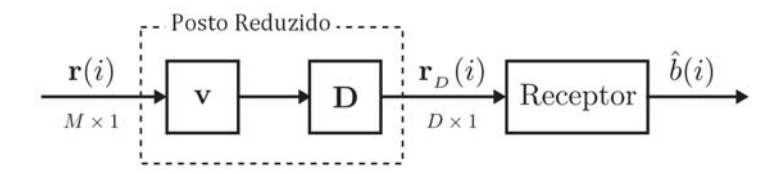


Figura 2.1: Diagrama do Posto Reduzido

Considere uma observação vetorial $\mathbf{r}(i)$ de tamanho $M \times 1$ expressa na forma:

$$\mathbf{r}(i) = b(i)\,\mathbf{s} + \mathbf{i}(i) + \mathbf{n}(i) \tag{2-1}$$

onde, b(i) é uma variável aleatória complexa de média nula ($\mathbb{E}[b] = 0$) que corresponde ao ponto da constelação de sinais associado ao i-ésimo símbolo transmitido pelo usuário desejado e \mathbf{s} é o vetor que representa a assinatura do usuário desejado (assinatura efetiva). O vetor de ruído $\mathbf{n}(i) = [n_1(i) \dots n_M(i)]^T$ é complexo gaussiano, com $\mathbb{E}[\mathbf{n}(k)\mathbf{n}(i)^H] = \sigma_n^2\mathbf{I}$, onde $(.)^T$ e $(.)^H$ denotam os operadores transposto e Hermitiano transposto, respectivamente e $\mathbb{E}[.]$ expressa o valor esperado. O vetor $\mathbf{i}(i)$ representa a interferência que depende do sistema e pode incluir interferência de múltiplo acesso (IMA), interferência entre símbolos (intersymbol interference - ISI), ou seja, tudo aquilo que no vetor recebido, não corresponda a informação do sinal desejado ou ruído. Considerase aqui que os vetores b(i) \mathbf{s} , $\mathbf{i}(i)$, e $\mathbf{n}(i)$ são estatisticamente independentes.

O bloco de interpolação consiste na filtragem do vetor de observação \mathbf{r}^1 por um filtro de pesos representados pelo vetor \mathbf{v} de tamanho $L_v \times 1$ ($L_v \ll M$), cuja função é gerar maior correlação entre as componentes do vetor \mathbf{r} antes do processo de decimação. O bloco decimador \mathbf{D} seleciona uma parcela das componentes do vetor interpolado, reduzindo sua dimensão por um fator F. Por conseguinte o comprimento final do vetor observado depois de passar pelo bloco de posto reduzido é de $\lfloor M/F \rfloor = D$, onde $\lfloor x \rfloor$ representa o maior inteiro menor ou igual a x. A operação de decimação pode ser implementada por meio da matriz \mathbf{D} com dimensão $D \times M$, expressa por

A matriz **D** contém apenas um componente 1 por linha, cuja posição indica qual componente do vetor permanecerá após decimação. O índice l representa a posição a partir da qual começa a decimação ou offset da decimação, ou seja, a posição daquela que será a primeira componente do vetor reduzido. No caso de decimação uniforme, por exemplo, se pretende-se reduzir o vetor por um fator F, existem F possíveis padrões de decimação identificados pelo índice l de forma tal que, pode-se tomar a componentes nas posições l, F + l, 2F + l . . . , para $l = 1, 2, \ldots, F$.

¹Para não carregar excessivamente a notação, o índice de tempo i, em $\mathbf{r}(i)$, $\mathbf{i}(i)$, $\mathbf{n}(i)$ e similares, serão suprimidos, sem perda de generalidade.

Na saída do bloco de posto reduzido tem-se como resultado um vetor de observação reduzido ${\bf r}_{\scriptscriptstyle D}$ que pode ser expresso na forma

$$\mathbf{r}_{D} = \mathbf{D} \boldsymbol{\mathcal{V}} \mathbf{r}$$
 (2-3)

 $= \mathbf{D} \mathcal{V}(b\mathbf{s} + \mathbf{i} + \mathbf{n})$

$$= b \mathbf{s}_{D} + \mathbf{i}_{D} + \mathbf{n}_{D} \tag{2-4}$$

onde a matriz de convolução \mathcal{V} é a matriz $toeplitz^2$ do vetor \mathbf{v} que implementa a convolução discreta deste vetor com o vetor de observação \mathbf{r} .

A equação (2-3) permite deduzir que a operação feita pelo bloco de posto reduzido pode ser representada por uma matriz de redução \mathbf{X}_D de dimensão $D \times M$ constituida por $\mathbf{X}_D = \mathbf{D} \boldsymbol{\mathcal{V}}$. Além disso, considerando a propriedade comutativa da convolução, e possível reescrever a equação (2-3) como

$$\mathbf{r}_{D} = \mathbf{D} \mathcal{R} \mathbf{v} \tag{2-5}$$

onde \mathcal{R} é a matriz *toeplitz* que tem na primeira coluna o vetor \mathbf{r} concatenado com zeros. Do mesmo modo, a assinatura reduzida do usuário desejado e o vetor de ruído reduzido podem ser expressos por

$$\mathbf{s}_{D} = \mathbf{D} \mathcal{S} \mathbf{v} \tag{2-6}$$

$$\mathbf{n}_{D} = \mathbf{D} \mathcal{N} \mathbf{v} \tag{2-7}$$

sendo \mathcal{S} e \mathcal{N} matrizes toeplitz dos vetores \mathbf{s} e \mathbf{n} respectivamente.

Se o espaçamento entre as componentes preservadas na decimação do vetor \mathbf{r} em (2-5) for maior ou igual a memoria, $L_v - 1$, do filtro interpolador, então o vetor de ruído na saída do estágio de posto reduzido permanece branco. No caso de decimação uniforme esta condição é satisfeita para um fator de decimação $F \geq L_v - 1$ ou seja $L_v \leq F + 1$.

2.2 Dimensionamento do Posto Reduzido

Esta seção propõe algumas estratégias para o dimensionamento dos estágios de interpolação e decimação no bloco de posto reduzido desenvolvido na Seção 2.1. O objetivo aqui é a redução da complexidade computacional

²A matriz Toeplitz é uma matriz em que cada diagonal descendente da esquerda para a direita tem valor constante. Ela é utilizada amplamente para implementar a convolução entre dois vetores através da multiplicação da matriz Toeplitz de um dos vetores pelo outro. A matriz toeplitz de um vetor para fins de convolução é criada preenchendo a primeira coluna da matriz com o vetor e completando a coluna com zeros até obter-se o comprimento resultante da convolução desejado. Basta uma coluna para se construir a matriz, já que cada coluna é construída a partir da anterior deslocando-se os elementos para a linha de baixo, sendo que o último elemento da coluna anterior é eliminado da nova coluna.

dos procedimentos de equalização e detecção advindas do processamento no receptor de vetores com um grande número de componentes, sem perda apreciável de desempenho.

2.2.1

Esquema A: Maximizar a Razão Sinal-Ruído na saída do Estágio de Redução de Posto

Supõe-se aqui que a assinatura **s** do usuário desejado é conhecida³. A razão sinal-ruído (*signal-to-noise ratio*, *SNR*) na saída do estágio de redução de posto, é expressa por:

SNR =
$$\frac{\mathbb{E}[\|b\mathbf{s}_{D}\|^{2}]}{\mathbb{E}[\|\mathbf{n}_{D}\|^{2}]}$$
=
$$\frac{\mathbb{E}[|b|^{2}]\|\mathbf{s}_{D}\|^{2}}{\mathbb{E}[\|\mathbf{n}_{D}\|^{2}]}$$
=
$$\frac{\delta\|\mathbf{s}_{D}\|^{2}}{\mathbb{E}[\|\mathbf{n}_{D}\|^{2}]}$$
(2-8)

onde $\delta = \mathbb{E}[|b|^2]$. Por outro lado \mathbf{n}_D corresponde à sequência de ruído branco filtrada por \mathbf{v} e decimada. A variancia dos componentes do ruído filtrado é portanto dada por $\sigma_n^2 \|\mathbf{v}\|^2$. Como \mathbf{n}_D contém D destas componentes, tem-se que

$$\mathbb{E}[\|\mathbf{n}_{D}\|^{2}] = D\sigma_{n}^{2} \|\mathbf{v}\|^{2} \tag{2-9}$$

substituindo (2-9) em (2-8) obtém-se:

$$SNR = \frac{\delta \|\mathbf{s}_D\|^2}{D\sigma_n^2 \|\mathbf{v}\|^2}$$
 (2-10)

O objetivo agora é descobrir conjuntamente o filtro \mathbf{v}^* e o padrão de decimação \mathbf{D}^* que maximizem a relação sinal-ruído dada pela equação (2-10). De início, restringe-se o problema a encontrar o filtro \mathbf{v}_l^* que maximiza a relação sinal ruído da equação (2-10), dado o padrão de decimação, ou seja, fixada a matriz \mathbf{D}_l escolhe-se \mathbf{v}_l tal que

³A assinatura do usuário pode ser estimada por meio de diferentes métodos assistidos ou cegos, e sua obtenção não é foco de discussão nesta dissertação. Como alternativa, entretanto, uma estimação da assinatura de forma assistida foi incluída nos procedimentos das estratégias onde ela é necessária.

$$\mathbf{v}_{l}^{*} = \arg \max_{\mathbf{v}} \frac{\delta \|\mathbf{s}_{D}\|^{2}}{D\sigma_{n}^{2} \|\mathbf{v}\|^{2}}$$

$$= \arg \max_{\mathbf{v}} \frac{\|\mathbf{s}_{D}\|^{2}}{\|\mathbf{v}\|^{2}}$$
(2-11)

mas no numerador de (2-11), o quadrado da norma da assinatura reduzida pode ser expresso na forma

$$\|\mathbf{s}_{D}\|^{2} = \|\mathbf{D}_{l} \mathcal{S} \mathbf{v}\|^{2}$$

$$= \mathbf{v}^{\mathcal{H}} \mathcal{S}^{\mathcal{H}} \mathbf{D}_{l}^{\mathcal{H}} \mathbf{D}_{l} \mathcal{S} \mathbf{v}$$

$$= \mathbf{v}^{\mathcal{H}} \mathbf{A}_{l} \mathbf{v}$$
(2-12)

onde \mathbf{A}_l de dimensão $L_v \times L_v$ é a matriz simétrica não-negativa definida dada por

$$\mathbf{A}_{l} = \mathbf{S}^{\mathcal{H}} \mathbf{D}_{l}^{\mathcal{H}} \mathbf{D}_{l} \mathbf{S} \tag{2-13}$$

Substituindo a expressão (2-12) em (2-11) obtém-se:

$$\mathbf{v}_{l}^{*} = \arg \max_{\mathbf{v}} \frac{\mathbf{v}^{\mathcal{H}} \mathbf{A}_{l} \mathbf{v}}{\|\mathbf{v}\|^{2}}$$
$$= \arg \max_{\mathbf{v}} \bar{\mathbf{v}}^{\mathcal{H}} \mathbf{A}_{l} \bar{\mathbf{v}}$$
(2-14)

onde $\bar{\mathbf{v}}$ é o filtro \mathbf{v} normalizado para comprimento unitário.

O filtro \mathbf{v}_l que maximiza a forma quadrática em (2-14) é o autovetor normalizado associado ao maior autovalor $\lambda_{\max,l}$ da matriz \mathbf{A}_l .

Tem-se assim que

$$\lambda_{\max,l} = \bar{\mathbf{v}}_l^{*^{\mathcal{H}}} \mathbf{A}_l \bar{\mathbf{v}}_l^* \tag{2-15}$$

e portanto, a SNR na saída do estágio de posto reduzido é proporcional a $\lambda_{\max,l}.$

Pode ser verificado ainda que o produto $\mathbf{D}_l^{\mathcal{H}} \mathbf{D}_l$ em (2-13) pode ser expresso por

$$\mathbf{D}_{l}^{\mathcal{H}}\mathbf{D}_{l} = diag(\mathbf{p}_{l}) \tag{2-16}$$

onde o operador $diag(\mathbf{p})$ representa a matriz diagonal cujos elementos não nulos são iguais aos elementos de \mathbf{p} . O vetor de pesos \mathbf{p}_l identifica o padrão de decimação e assume o valor 0 nas posições correspondentes às componentes

do vetor a serem decimadas e 1 naquelas que serão conservadas. Como $diag(\mathbf{p}_l) = diag^2(\mathbf{p}_l)$, tem-se que

$$\mathbf{A}_{l} = \mathcal{S}^{\mathcal{H}} diag(\mathbf{p}_{l}) \mathcal{S}$$
$$= \mathcal{S}^{\mathcal{H}} (diag(\mathbf{p}_{l}))^{\mathcal{H}} (diag(\mathbf{p}_{l})) \mathcal{S}$$
(2-17)

Assim, se $\mathbf{U}_l = (diag(\mathbf{p}_l)) \mathbf{S}$ então:

$$\mathbf{A}_l = \mathbf{U}_l^{\mathcal{H}} \mathbf{U}_l \tag{2-18}$$

e a complexidade das operações para calcular a matriz \mathbf{A}_l é reduzida.

O procedimento adotado para o dimensionamento do estágio de redução de posto de acordo com o Esquema A é composto pelos seguintes passos

1. Estimar a assinatura efetiva do usuário desejado:

$$\hat{\mathbf{s}}[j] = \alpha \,\hat{\mathbf{s}}[j-1] + \mathbf{r}[j] \,b^*[j] \tag{2-19}$$

onde α é o fator de esquecimento com valor entre $0 < \alpha < 1$.

- 2. Determinar a matriz toeplitz $\hat{\boldsymbol{\mathcal{S}}}[j]$ do vetor $\hat{\mathbf{s}}[j]$.
- 3. Obter a matriz A_l dada por(2-13)

$$\hat{\mathbf{A}}_{l}[j] = \hat{\boldsymbol{\mathcal{S}}}^{\mathcal{H}}[j] \operatorname{diag}(\mathbf{p}_{l}) \hat{\boldsymbol{\mathcal{S}}}[j]$$
 (2-20)

4. Determinar o autovetor associado ao maior autovalor de $\hat{\mathbf{A}}_{l}[j]$ e atribui-lo a \mathbf{v}_{l}^{*} .

Obtém-se o melhor padrão de decimação \mathbf{D}^* conjuntamente com o melhor filtro de interpolação \mathbf{v}^* através do teste entre os possíveis padrões de decimação selecionados e comparação dos autovalores máximos associados a $\hat{\mathbf{A}}_l[j]$ para cada l. O padrão \mathbf{D}_l de decimação para o qual obtém-se o maior autovalor é escolhido como ótimo, \mathbf{D}^* .

O pseudo-código deste método de otimização do par filtro interpolador/padrão de decimação é apresentado a seguir.

Algoritmo 2.1: Esquema A, otimização conjunta do D e v

```
\lambda_{max} = 0;
 2 for l=1 to F do
         determine a estimativa \hat{\mathbf{s}}[j] conforme a equação (2-19);
 3
         determine a matriz toeplitz \hat{S}[j];
 4
         determine o maior autovetor associado o maior autovalor de
 5
         \lambda_l \leftarrow \text{maior autovalor de } \hat{\mathbf{A}}_l[j];
 6
         \mathbf{v}_l \leftarrow \text{autovetor associado a } \lambda_l;
 7
         if \lambda_l > \lambda_{max} then
 8
               \lambda_{max} = \lambda_l;
 9
               \mathbf{v}^* = \mathbf{v}_l;
10
              \mathbf{l}^* = l;
11
```

2.2.2

Esquema B: Maximizar a razão sinal-ruído mais interferência na saída do estágio de redução de posto

Esta estratégia de dimensionamento visa determinar o par filtro interpolador/padrão de decimação que maximiza a razão entre a energia do sinal desejado e a dos sinais espúrios (interferência e ruído) presentes na saída do estagio de redução de posto. Assim, procura-se descobrir conjuntamente o filtro \mathbf{v}^* (ótimo) e o padrão de decimação \mathbf{D}^* que maximiza a SNIR (Signal-to-Noise plus Interference Ratio).

A razão sinal-ruido mais interferência para o caso em estudo é dada por:

$$SNIR_{D} = \frac{\delta \|\mathbf{s}_{D}\|^{2}}{\mathbb{E}\left[\|\mathbf{i}_{D} + \mathbf{n}_{D}\|^{2}\right]}$$
(2-21)

Do mesmo modo que para o Esquema A, restringe-se este problema a encontrar o filtro \mathbf{v}^* que maximiza a SNIR_D da equação (2-21), dado o padrão de decimação. Ou seja, fixada a matriz \mathbf{D}_l escolhe-se o filtro \mathbf{v}_l tal que

$$\mathbf{v}_{l}^{*} = \arg \max_{\mathbf{v}} \frac{\delta \|\mathbf{s}_{D}\|^{2}}{\mathbb{E}[\|\mathbf{i}_{D} + \mathbf{n}_{D}\|^{2}]}$$

$$= \arg \max_{\mathbf{v}} \frac{\|\mathbf{s}_{D}\|^{2}}{\mathbb{E}[\|\mathbf{i}_{D} + \mathbf{n}_{D}\|^{2}]}$$
(2-22)

mas resolver o problema descrito em (2-22), é equivalente a determinar

$$\mathbf{v}_{l}^{*} = \arg\max_{\mathbf{v}} \frac{\|\mathbf{s}_{D}\|^{2}}{\mathbb{E}\left[\|\mathbf{r}_{D}\|^{2}\right]}$$
(2-23)

uma vez que:

$$\frac{\mathbb{E}\left[\|\mathbf{r}_{D}\|^{2}\right]}{\delta \|\mathbf{s}_{D}\|^{2}} = \frac{\mathbb{E}\left[\|b\,\mathbf{s}_{D} + \mathbf{i}_{D} + \mathbf{n}_{D}\|^{2}\right]}{\delta \|\mathbf{s}_{D}\|^{2}}$$

$$= \frac{\delta \|\mathbf{s}_{D}\|^{2} + \mathbb{E}\left[\|\mathbf{i}_{D} + \mathbf{n}_{D}\|^{2}\right]}{\delta \|\mathbf{s}_{D}\|^{2}}$$

$$= 1 + \frac{1}{\text{SNIR}_{D}} \tag{2-24}$$

Assim, maximizar SNIR_D é equivalente a minimizar a razão $\frac{\mathbb{E}[\|\mathbf{r}_D\|^2]}{\|\mathbf{s}_D\|^2}$ ou maximizar a sua recíproca.

O numerador da fração em (2-23) pode ser expresso na forma de (2-12). Por outro lado, considerando-se (2-5), tem-se que

$$\mathbb{E} [\|\mathbf{r}_{D}\|^{2}] = \mathbb{E} [\|\mathbf{D}_{l} \boldsymbol{\mathcal{V}} \mathbf{r}\|]^{2}$$

$$= \mathbb{E} [\|\mathbf{D}_{l} \boldsymbol{\mathcal{R}} \mathbf{v}\|]^{2}$$

$$= \mathbf{v}^{\mathcal{H}} \mathbb{E} [\boldsymbol{\mathcal{R}}^{\mathcal{H}} \mathbf{D}_{l}^{\mathcal{H}} \mathbf{D}_{l} \boldsymbol{\mathcal{R}}] \mathbf{v}$$

$$= \mathbf{v}^{\mathcal{H}} \mathbf{B}_{l} \mathbf{v}$$
(2-25)

onde a matriz hermitiana simétrica e não-negativa \mathbf{B}_l de dimensão $L_v \times L_v$ é dada por

$$\mathbf{B}_{l} = \mathbb{E}\left[\mathbf{\mathcal{R}}^{\mathcal{H}}\mathbf{D}_{l}^{\mathcal{H}}\mathbf{D}_{l}\mathbf{\mathcal{R}}\right]. \tag{2-26}$$

Então, o problema de maximização em (2-23), levando em conta (2-12) e (2-25), pode ser escrito como:

$$\mathbf{v}_l^* = \arg\max_{\mathbf{v}} f_l(\mathbf{v}) \tag{2-27}$$

onde $f_l(\mathbf{v})$ é definida por

$$f_l(\mathbf{v}) = \frac{\mathbf{v}^{\mathcal{H}} \mathbf{A}_l \mathbf{v}}{\mathbf{v}^{\mathcal{H}} \mathbf{B}_l \mathbf{v}} = \mathbf{v}^{\mathcal{H}} \mathbf{A}_l \mathbf{v} \left(\mathbf{v}^{\mathcal{H}} \mathbf{B}_l \mathbf{v} \right)^{-1}.$$
 (2-28)

Para obter os pontos críticos da função $f_l(\mathbf{v})$ determina-se o seu gradiente

$$\nabla_{\mathbf{v}} \cdot f_l(\mathbf{v}) = -\mathbf{v}^{\mathcal{H}} \mathbf{A}_l \mathbf{v} \left(\mathbf{v}^{\mathcal{H}} \mathbf{B}_l \mathbf{v} \right)^{-2} \mathbf{B}_l \mathbf{v} + \left(\mathbf{v}^{\mathcal{H}} \mathbf{B}_l \mathbf{v} \right)^{-1} \mathbf{A}_l \mathbf{v},$$

os valores de \mathbf{v} que anulam o gradiente devem satisfazer

$$-\frac{\left(\mathbf{v}^{\mathcal{H}}\mathbf{A}_{l}\mathbf{v}\right)\mathbf{B}_{l}\mathbf{v}}{\left(\mathbf{v}^{\mathcal{H}}\mathbf{B}_{l}\mathbf{v}\right)^{2}} + \frac{\left(\mathbf{v}^{\mathcal{H}}\mathbf{B}_{l}\mathbf{v}\right)\mathbf{A}_{l}\mathbf{v}}{\left(\mathbf{v}^{\mathcal{H}}\mathbf{B}_{l}\mathbf{v}\right)^{2}} = 0$$
(2-29)

ou ainda

$$-(\mathbf{v}^{\mathcal{H}}\mathbf{A}_{l}\mathbf{v}) \mathbf{B}_{l}\mathbf{v} + (\mathbf{v}^{\mathcal{H}}\mathbf{B}_{l}\mathbf{v}) \mathbf{A}_{l}\mathbf{v} = 0$$

$$(\mathbf{v}^{\mathcal{H}}\mathbf{B}_{l}\mathbf{v}) \mathbf{A}_{l}\mathbf{v} = (\mathbf{v}^{\mathcal{H}}\mathbf{A}_{l}\mathbf{v}) \mathbf{B}_{l}\mathbf{v}$$

$$\mathbf{A}_{l}\mathbf{v} = \frac{(\mathbf{v}^{\mathcal{H}}\mathbf{A}_{l}\mathbf{v})}{(\mathbf{v}^{\mathcal{H}}\mathbf{B}_{l}\mathbf{v})} \mathbf{B}_{l}\mathbf{v}$$

$$\mathbf{A}_{l}\mathbf{v} = \lambda \mathbf{B}_{l}\mathbf{v}$$
(2-30)

onde λ em (2-30) é o escalar dado por:

$$\lambda = \frac{\left(\mathbf{v}^{\mathcal{H}}\mathbf{A}_{l}\mathbf{v}\right)}{\left(\mathbf{v}^{\mathcal{H}}\mathbf{B}_{l}\mathbf{v}\right)} \tag{2-31}$$

Suponha agora que existe um vetor \mathbf{v} que satisfaça (2-30) e que a matriz \mathbf{B}_l tem inversa. Então, \mathbf{v} tem que satisfazer

$$\mathbf{F}_{l}\mathbf{v} = \lambda\mathbf{v} \tag{2-32}$$

onde

$$\mathbf{F}_{l} = \mathbf{B}_{l}^{-1} \mathbf{A}_{l} \tag{2-33}$$

Ou seja, \mathbf{v} tem que ser um autovetor da matriz \mathbf{F}_l em (2-33). Por outro lado, como de (2-31) tem-se que $\lambda = f_l(\mathbf{v})$, o vetor \mathbf{v} que maximiza $f_l(\mathbf{v})$ deve corresponder ao maior autovalor de \mathbf{F}_l . Tem-se assim que o filtro \mathbf{v}_l que maximiza SNIR_D é o autovetor associado ao maior autovalor $\lambda_{\mathrm{max},l}$ da matriz \mathbf{F}_l e $f_l(\mathbf{v}_l^*) = \lambda_{\mathrm{max},l}$.

O procedimento adotado para o dimensionamento do estágio de redução de posto de acordo com o Esquema B é composto pelos seguintes passos

1. Estimação da matriz \mathbf{B}_{l}

$$\hat{\mathbf{B}}_{l}[j] = \alpha \,\hat{\mathbf{B}}_{l}[j-1] + \mathcal{R}^{\mathcal{H}}[j] \, diag(\mathbf{p}_{l}) \mathcal{R}[j]$$
 (2-34)

onde $\mathcal{R}[j]$ é a matriz toeplitz do j-ésimo vetor recebido.

- 2. Estimar a assinatura do usuário desejado $\hat{\mathbf{s}}[j]$ de acordo com (2-19).
- 3. Determinar a matriz toeplitz $\hat{S}[j]$ do vetor $\hat{s}[j]$.
- 4. Calcular $\hat{\mathbf{A}}_{l}[j]$ de acordo com (2-20).
- 5. Obter a matriz $\hat{\mathbf{F}}_l[j] = \hat{\mathbf{B}}_l^{-1}[j]\hat{\mathbf{A}}_l[j]$.

6. Determinar o autovetor associado ao maior autovalor de $\hat{\mathbf{F}}_{l}[j]$ e atribui-lo a \mathbf{v}_{l}^{*} .

Obtém-se o melhor padrão de decimação \mathbf{D}^* conjuntamente com o melhor filtro de interpolação \mathbf{v}^* através de teste entre os possíveis padrões de decimação selecionados e comparação dos autovalores máximos associados a $\hat{\mathbf{F}}_l[j]$ para cada l. O padrão \mathbf{D}_l de decimação para o qual obtém-se o maior autovalor é escolhido como ótimo, \mathbf{D}^* .

O pseudo-código deste método de otimização do par filtro interpolador/padrão de decimação é apresentado a seguir.

Algoritmo 2.2: Esquema B, otimização conjunta do D e v

```
\lambda_{max} = 0;
 2 for l=1 to F do
         estime conforme a equação (2-34) a matriz \hat{\mathbf{B}}_{l}[j];
 3
         estime \hat{\mathbf{s}}[j] pela equação (2-19) ;
 4
         calcule a matriz toeplitz \mathcal{S}[j];
 5
         determine a matriz \hat{\mathbf{F}}_l a través da equação (2-33);
 6
         calcule o maior autovetor associado ao maior autovalor de \mathbf{F}_{l}[j];
 7
         \lambda_l \leftarrow \text{maior autovalor de } \mathbf{F}_l[j];
 8
         \mathbf{v}_l \leftarrow \text{autovetor associado a } \lambda_l;
 9
         if \lambda_l > \lambda_{max} then
10
               \lambda_{max} = \lambda_l;
11
               \mathbf{v}^* = \mathbf{v}_l;
12
               \mathbf{l}^* = l;
13
```

Quando comparado ao Esquema A, o procedimento de dimensionamento associado ao Esquema B é mais complexo, uma vez que requer a estimação da matriz, $L_v \times L_v$, **B** e a inversão desta matriz, ressalte-se entretanto que os valores de L_v utilizados são, em geral, pequenos e portanto B tem dimensão reduzida. Por outro lado, o Esquema B leva em consideração a presença da interferência, o que conduz a um ganho no desempenho do sistema, ganho este tanto maior quanto maior for a razão interferência-ruído no sinal recebido. Quando o ruído predomina sobre a interferência o desempenho de ambas estratégias é similar e o uso do Esquema A, mais simples, é mais vantajoso.